



<https://tbj.ui.ac.ir/?lang=en>

**Taxonomy and Biosystematics**

E-ISSN: 2322-2190

Document Type: Research Paper

Vol. 14, Issue 1, No.50, Spring 2022, P:7-10

Received: 20/06/2022 Accepted: 04/07/2022

## **Molecular Phylogeny and Divergence Time Estimation of *Onobrychis* sect. *Onobrychis* (Fabaceae) based on nrDNA ITS**

**Anahita Hadadi**

Ph. D. Student of Plant Systematics, Department of Plant Biology, Faculty of Biological Sciences, Tarbiat Modares University, Tehran, Iran  
anahitahadadi@gmail.com

**Akram Kaveh**

Ph. D. Graduate of Plant Systematics, Department of Plant Biology, Faculty of Biological Sciences, Tarbiat Modares University, Tehran, Iran  
akramkavehak@gmail.com

**Hanyieh Nafisi**

Postdoctoral Fellowship of Plant Systematics, Department of Plant Biology, Faculty of Biological Sciences, Tarbiat Modares University, Tehran, Iran

**Shahrokh Kazempour-Osaloo\***

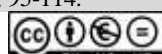
Professor of Systematic and Evolutionary Botany, Department of Plant Biology, Faculty of Biological Sciences, Tarbiat Modares University, Tehran, Iran  
skosaloo@modares.ac.ir

### **Abstract**

Phylogenetic analysis and estimating divergence time of *O. sect. Onobrychis* were conducted using nrDNA ITS sequence data. A total of 60 species from the section *Onobrychis*, seven species of the five sister sections belonging to *O. subgen. Sisyrosema* and eight species of other genera of the tribe Hedsareae (*Eversmannia subspinosa* ‘*Greuteria argyreum*’ *Corethrodendron multijugum* ‘*Taverniera cuneifolia*’ *Hedysarum polybotrys* ‘*Sulla spinosissima*’ & *Alhagi maurorum*) as outgroups were chosen. Phylogenetic analyses were performed by maximum likelihood and Bayesian methods. The results showed that *O. sect. Onobrychis* is monophyletic and composed of two main well-supported clades. The first clade includes annual and perennial species with long wings, often with the basic chromosome number  $x=8$ . The second clade comprises perennial species with short wings and two annuals with long wings, having the basic chromosome number  $x=7$ . Sect. The divergence time estimation of this section was analyzed with BEAST. The section was originated at 11.96 Mya in middle Miocene and subsequently diverged into two lineages at 9.29-9.58 Mya.

\*Corresponding author

Hadadi, A., Kaveh, A., Nafisi, H. & Kazempour-Osaloo, SH. (2021). Molecular Phylogeny and Divergence Time Estimation of *Onobrychis* sect. *Onobrychis* (Fabaceae) based on nrDNA ITS. *Taxonomy and Biosystematics*, 14(1), 95-114.



**Key words:** Divergence Time, Fabaceae, nrDNA ITS, *Onobrychis*, Phylogeny.

## Introduction

The genus *Onobrychis* Mill. comprises ca. 170 annual or perennial herbs divided into two subgenera and nine sections. At the current status, *O.* sect. *Onobrychis* with merging sects. *Lophobrychis* and *Dendrobrychis* is the largest section of the genus.

## Materials and Methods

In this study, phylogenetic analysis and estimating divergence time of *O.* sect. *Onobrychis* were conducted using nrDNA ITS. A total of 60 species from the section *Onobrychis*, seven species of the five sister sections belonging to *O.* subgen. *Sisyrosema* and eight species of other genera of the tribe Hedysareae (*Eversmannia subspinosa*, *Greuteria argyreum*, *Corethrodendron multijugum*, *Taverniera cuneifolia*, *Hedysarum polybotrys*, *Sulla spinosissima*, and *Alhagi maurorum*) as out-groups were chosen. Phylogenetic analyses were performed by maximum likelihood and Bayesian methods. The divergence times estimation of this section was analyzed with BEAST.

## Findings

The results showed that *O.* sect. *Onobrychis* is monophyletic and composed of two main well-supported clades including clade "A" and clade "B". Each clad was divided into several subclades.

## Results and Conclusions

The first clade includes annual and perennial species with long wings, often with the basic chromosome number  $x=8$ , and the second one composes species with the basic chromosome number  $x=7$ . It was also found that the annual species that were previously classified in the sect. *Lophobrychis* were not monophyletic, and three long-winged annual species were placed in clade "A", and two annual long-winged species were related to short-winged perennial species, are placed in clade "B". But the two long-winged species *O. cornuta* and *O. elymaitica*, were previously classified in the sect. *Dendrobrychis*, are placed in the clade "A". Sect. *Onobrychis* originated at 11.96 Mya in the middle Miocene and was subsequently diverged into two lineages at 9.29-9.58 Mya.

## References

- Aber, J. S., Pavri, F., & Aber, S. (2012). *Wetland environments: A global perspective*. Hoboken: John Wiley and Sons.
- Anderson, M. K. (2006). *Plant fact sheet: Narrowleaf cattail, Typha angustifolia L.* USA: United States Department of Agriculture, Natural Resources Conservation Service.
- Archibold, O. W. (1995). *Ecology of world vegetation*. London: Chapman and Hall.
- Asri, Y., & Eftekhari, T. (2002). Introducing the flora and vegetation of Siah Kashim wetland. *Journal of Environmental Science*, 29, 1-19 (in Persian).
- Assadi, M., Maassoumi, A. A., Khatamsaz, M., & Mozaffarian, V. (Eds.) (1988-2021). *Flora of Iran*. Tehran: Research Institute of Forests and Rangelands (in Persian).
- Carpenter, S. R., Fisher, S. G., Grimm, N. B., & Kitchell, J. F. (1992). Global change and freshwater ecosystems. *Annual Review of Ecology and Systematics*, 23(1), 119-139.

- COL (2022). *Catalogue of life*. Retrieved from <https://www.catalogueoflife.org/index?taxonKey=P>. On: 31 March 2022.
- Cronk, J. K., & Fennessy, M. S. (2001). *Wetland plants: Biology and ecology*. First Edition. USA: CRC Press.
- Cronk, J. K., & Fennessy, M. S. (2016). *Wetland plants: Biology and ecology*. USA: CRC Press.
- Davis, P. H. (Ed.) (1965-1988). *Flora of Turkey*. Edinburgh: Edinburgh University Press.
- Dinarvand, M. (2021) Wetland plants of Iran. *Iran Nature*, 6(2), 63-83.
- Dolatkhahi, M., & Yousofi, M. (2009). Study on the aquatic and semi-aquatic plants of Parishan International Wetland in the Fars province. *Journal of Wetland Ecobiology*, 1(1), 91-104.
- Ehsani, J., Romiani, L., & Maniat, M. (2010). Investigation of aquatic plants in some important aquatic ecosystems of Khuzestan province. *Journal of Wetland Ecobiology (wetland)*, 2(6), 25-32.
- Ghahreman, A., & Attar, F. (2002). Anzali wetland in a coma of death (floristic ecological study). *Journal of Environmental Science*, 28(Special Issue), 1-38 (in Persian).
- Ghahreman, A., Naghinejad, A., & Attar, F. (2004). Habitats and flora of Chamkhaleh coastal area- Jirbagh and Amir Kalayeh coastal wetland. *Journal of Environmental Science*, 30(33), 46-67.
- Guntenspergen, G. R., Peterson, S. A., Leibowitz, S. G., & Cowardin, L. M. (2002). Indicators of wetland condition for the Prairie Pothole Region of the United States. *Journal of Environmental Monitoring and Assessment*, 78(3), 229-252.
- IPNI (2022). *The International Plant Names Index*. Retrieved from <http://www.ipni.org>. On: 31 March 2022.
- Iranmanesh, Y., Jalili, A., Shirmoardi, H., & Jahanbazi Goujani, H. (2017). Flora, life form and chorology of plants in the important wetlands of Chaharmahal and Bakhtiari province. *Journal of Taxonomy and Biosystematics*, 9(30), 83-104.
- Kamrani, A., Naqinezhad, A., Attar, F., Jalili, A., & Charlet, D. (2011). Wetland flora and diversity of the western Alborz mountains north Iran. *Phytologia Balcanica*, (17), 53-66.
- Kar, D. (2013). *Wetlands and Lakes of the World*. New Delhi, India: Springer.
- Karami, M., Kasmani, M. E., & Alamesh, A. (2001). Plants of Hashilan wetland, Kermanshah, Iran. *Journal of Sciences of Islamic Republic of Iran*, 12(3), 201-207.
- Keddy, P. A. (1976). Lakes as islands: The distributional ecology of two aquatic plants, *Lemna minor* L. and *trisulca* L. *Journal of Ecology*, 57(2), 353-359.
- Khanhasani, M., Khodakarami, Y., Jalilian, N., & Jalili, A. (2018). The habitat of *Nuphar lutea* in Kermanshah province. *Journal of Iran Nature*, 3(3), 86-93.
- Lacoul, P., & Freedman, B. (2006). Environmental influences on aquatic plants in freshwater ecosystems. *Journal of Environmental Reviews*, 14(2), 89-136.
- Léonard, J. (1988). Contribution à l'étude de la flore et de la vegetation des desert d'Iran, Fascicule 8: Etude des aries de distribution, Les phytochories, Les chorotypes. *Bulletin of the Jardin Botanique National de Belgique, Meise*.
- Lopez, R. D., Lyon, J. G., Lyon, L. K., & Lopez, D. K. (2013). *Wetland landscape characterization: Practical tools, methods, and approaches for landscape ecology*. USA: CRC Press.
- Mehrnia, M. (2018). The habitat of *Nuphar lutea* in Lorestan province. *Iran Nature*, 3(3), 78-85.

- Mehrnia, M., & Jalili, A. (2020). *Final report of the project: Study of ecological conditions of wetlands in Iran*. Series number: 5646. Tehran: Agricultural Information Technology Center of the Ministry of Jihad Agriculture (in Persian).
- Mesdaghi, M. (2001). *Vegetation description and analysis*. Mashhad: Mashhad Jahad Daneshgahi Press (in Persian).
- Misra, K. C. (1980). *Manual of plant ecology*. New Delhi: Oxford and IBH Publishing Company.
- Raunkiaer, C. (1934). *The life forms of plants and statistical plant geography*. (n.p)
- Rechinger, K. H. (Ed.) (1963-2018). *Flora Iranica*. Graz: Akademische Druck-U Verlagsanstalt.
- Safikhani, K., Jalili, A., & Jamzad, Z. (2018). Wetlands flora of Hamedan province (Iran). *Journal of Taxonomy and Biosystematics*, 10(37), 23-46 (in Persian).
- Sculthorpe, C. C. (1967). The biology of aquatic vascular plants. *BioScience*, 18(6).
- Slack, K. V., Nauman, J. W., & Tilley, L. J. (1979). Benthic invertebrates in a north-flowing stream and a south-flowing stream, Brooks Range, Alaska 1. *Jawra Journal of the American Water Resources Association*, 15(1), 108-135.
- Stromberg, J. C., & Patten, D. T. (1996). Instream flow and cottonwood growth in the eastern Sierra Nevada of California, USA. *Regulated Rivers: Research and Management*, 12(1), 1-12.
- Takhtajan, A. (1986). *Floristic regions of the world*. Berkley: University of California Press.
- Whitley, J. R., Bassett, B., Dillard, J. G., & Haefner, R. A. (1999). *Water plants for Missouri ponds*. Jefferson City, Missouri: Missouri Department Conservation.
- Zohary, M. (1966-1978). *Flora palestina*. The Jerusalem Academic Press.

## تبارزایی مولکولی و تخمین زمان واگرایی بخشة Onobrychis از سرده Onobrychis (تیره باقلائیان) براساس تواليهای nrDNA ITS

آناهیتا حدادی، دانشجوی دکتری سیستماتیک گیاهی، گروه علوم گیاهی، دانشکده علوم زیستی، دانشگاه تربیت مدرس، تهران، ایران  
anahitahadadi@gmail.com

اکرم کاووه، دانش آموخته دکترای سیستماتیک گیاهی، گروه علوم گیاهی، دانشکده علوم زیستی، دانشگاه تربیت مدرس، تهران، ایران  
akramkavehak@gmail.com

هانیه نفیسی، پژوهشگر پساد کتری سیستماتیک گیاهی، گروه علوم گیاهی، دانشکده علوم زیستی، دانشگاه تربیت مدرس، تهران، ایران  
hanienafisi@yahoo.com

شاهرخ کاظم پور اصالو<sup>\*</sup>، استاد گروه علوم گیاهی، دانشکده علوم زیستی، دانشگاه تربیت مدرس، تهران، ایران  
skosaloo@modares.ac.ir

### چکیده

تجزیه و تحلیل روابط تبارزایشی و تخمین زمان واگرایی بخشة Onobrychis با استفاده از نواحی فاصله گذار رونویسی شده داخلی DNA ریبوزومی هسته ای (nrDNA ITS) انجام شد. ۶۰ گونه از بخشة Onobrychis هفت گونه از بخشه های خواهاری از زیرسرده *O. subgen. Sisyrosema* و هشت گونه از سایر سرده های قبیله *Corethrodendron multijugum*, *Greuteria argyreum*, *Eversmannia subspinosa*, *Hedysareae*, *Alhagi maurorum* و *Sulla spinosissima*, *Hedysarum polybotrys*, *Taverniera cuenifolia* بر own گروه انتخاب شد. آنالیزهای تبارزایشی به روش های بیشینه درست نمایی و بازیزن انجام شد. نتایج نشان داد بخشة Onobrychis تک تبار و مشکل از دو کلاد اصلی با حمایت زیاد است. کلاد اول شامل گونه های یک ساله و چند ساله با بال های بلند و اغلب با عدد کروموزوم پایه  $x=8$  است. کلاد دوم گونه هایی را با عدد کروموزوم پایه  $x=7$  تشکیل می دهد که در آن دو گونه یک ساله با بال های بلند با گونه های چند ساله دارای بال کوتاه مرتبط است. زمان واگرایی این بخشة با استفاده از نرم افزار BEAST تخمین زده شد. این بخشة در ۱۱/۹۶ میلیون سال پیش در میوسن میانی به وجود آمد و سپس به دو دوران در ۹/۲۹ - ۹/۵۸ میلیون سال پیش واگرایی یافته است.

**واژه های کلیدی:** اسپرس، تبارزایی، تیره باقلائیان، زمان واگرایی، nrDNA ITS

### مقدمه

آسیای مرکزی و معتدل غربی، در سراسر مناطق معتدل و نیمه گرمسیری اوراسیا و شمال آفریقا پراکنده شده

سرده *Onobrychis* Mill. در منطقه ای از جنوب

اروپا، منطقه مدیترانه تا قفقاز، رشته کوه های زاگرس،

\* مسئول مکاتبات

حدادی، آناهیتا، کاووه، اکرم، نفیسی، هانیه و کاظم پور اصالو، شاهرخ. (۱۴۰۱). تبارزایی مولکولی و تخمین زمان واگرایی بخشة Onobrychis از سرده Onobrychis (تیره باقلائیان) براساس تواليهای nrDNA ITS. تاكsonomi و بيوسيستماتيک، ۱۴(۵۰)، ۹۵-۱۱۴.



دو عدد پایه کروموزومی  $x=7$  و  $x=8$  و دو سطح پلولیدی دیپلولید و تترالپلولید در این بخش گزارش شده است (Baltisberger, 1991; Abou-El-Enain, 2002; Hejazi *et al.*, 2010; Ranjbar *et al.*, 2010; Sepet *et al.*, 2011; Karamian *et al.*, 2012; Akchlik, 2012).

هدف از انجام مطالعه حاضر، بررسی تکنیابی و روابط بین گونه‌ای در بخش *Onobrychis* و تجزیه و تحلیل روابط تبارزایشی با استفاده از نواحی فاصله‌گذار رونویسی شده داخلی DNA ریبوزومی هسته‌ای (nrDNA ITS) به روش‌های بیشینه درست‌نمایی و بازیزن (Bayesian) و همچنین تخمین زمان واگرایی *Onobrychis* است.

## مواد و روش‌ها

۷۴ نمونه از ۶۰ گونه *Onobrychis*، هفت گونه از زیرسرده *Sisyrosema* و هشت بروندگروه از قبیله *Hedysareae* در این مطالعه استفاده شد. علاوه بر ITS (۵۱) که در مطالعات قبلی به دست آمده بود (Amirahmadi *et al.*, 2014a, 2016) بازیابی شد، توالی‌بایی ۴۰ نمونه جدید نیز صورت گرفت. اطلاعات مربوط به گونه‌های مطالعه شده در جدول ۱ ارائه شده است.

کل ژنوم با روش CTAB اصلاح شده DNA ITS5m (Sang *et al.*, 1990) با استفاده از پرایمر ITS4 (White *et al.*, 1990) و ۱۹۹۵ واکنش زنجیری پلیمراز (PCR) در حجم ۲۰ میکرولیتر (PCR) داشت. مخلوط اصلی  $\times ۲$  Taq DNA پلیمراز Red ۰/۵ میکرولیتر از هر پرایمر ۱۰٪ (Amplicon)

است (Širjaev, 1925, 1926; Townsend, 1974; Rechinger, 1984; Abou-El-Enain, 2002). این سرده شامل ۳۶۰ گونه چندساله و یک‌ساله است (Nixon, 2006). در فلورا ایرانیکا ۵۴ گونه از ایران در هشت بخش قرار گرفته است که شامل *Onobrychis*, *Lophobrychis*, *Dendrobrychis*, *Afghanicae*, *Anthyllium*, *Laxiflorae*, (Rechinger, 1984) *Hymenobrychis* و *Hellobrychis* می‌شود؛ اما براساس مطالعات تبارزایشی اخیر (Amirahmadi *et al.*, 2016) محدوده رده‌بندی *Onobrychis* دستخوش تغییرات اساسی شده است. زیرسرده *Onobrychis* شامل دو بخش *Onobrychis* و *Sisyrosema* و زیرسرده *Hemicyclobrychis* Širj. *Laxiflorae*, *Afghanicae*, Širj. *Hellobrychis* (Bunge ex Boiss.) (Širj.) Rech.f., *Insignes* (Širj.) *Hymenobrychis* DC. Širj. *Lipskyanae* (Širj.) Amirah. & Kaz. Rech.f. *Litvinovianae* (Širj.) Amirah. & Kaz. و Osaloo می‌شود.

*Onobrychis* sect. *Onobrychis* با گیاهان یک‌ساله یا چندساله و گاهی اوقات بوته‌های بالشتکی، از حدود ۱۰۴ گونه تشکیل شده است که طبق مطالعه تبارزایشی (Amirahmadi, 2016) و همکاران (Boissier, 1843; Širjaev, 1925, 1926; Ball, 1968; Grossheim, 1972; Townsend, 1974; Rechinger, 1984; Ranjbar *et al.*, 2007, 2008, 2009, 2011, 2012; Amirahmadi *et al.*, 2014b; Ghanavati and Amirabadizadeh, 2018; Amirahmadi and Khoshokhan-Mozaffar, 2021).

از مدل G GTR+G با برنامه (Ronquist *et al.*, 2012) برای آنالیزهای تبارزایشی MrBayes version 3.2 بازیزن استفاده شد. احتمالات ثانویه روی پارامترهای مدل از داده‌ها با استفاده از پیش‌فرضهای اولیه برآورد شد. آنالیزها در هشت میلیون نسل تکرار شد. چهار زنجیره مارکوف مونته کارلو (MCMC) در یک زمان از یک درخت به طور تصادفی شروع به کار کرد. یک درخت در هر ۱۰۰ نسل نمونه برداری و بعد از رسیدن به فاز همگرایی (خطی) (بعد از سوختن ۲۵ درصد نسل‌ها) جمع‌آوری شد؛ سپس یک درخت اجتماعی مبتنی بر قاعده ۵۰ درصد اکثریت همراه با مقادیر احتمال پسین برای نمایش با Treeview (Page, 2001) استفاده شد.

برنامه Bayesian برای تخمین زمان واگرایی بین گونه‌ها براساس مدل ساعت مولکولی ثابت یا آزاد استفاده می‌شود (Rambaut and Drummond, 2007). BEAST یک نرم‌افزاری Tree BEAUTi شامل است. ابتدا با استفاده از برنامه BEAUTi توالی‌هایی به شکل اجراشدنی در می‌آید؛ در ادامه پس از انتخاب بروون‌گروه و مدل جایگزینی، مدل آزاد ساعت مولکولی براساس برنامه MrModeltest 2 انتخاب می‌شود.

احتمال اولیه یا پیشین به صورت نرمال بود و زمان کالیبراسیون براساس مطالعات پیشین (Lavin *et al.*, 2005) ۲۹/۳ میلیون سال تعیین و دو اجرای جداگانه MCMC برای ۱۰ میلیون نسل در نظر گرفته شد؛ سپس از هر ۲۰۰ نسل، یک درخت نمونه برداری شد. با استفاده از Tracer v 1.5، توزیع احتمالات ثانویه و Tree effective sample size داده‌ها مشاهده و با Annatator ۱۰ درصد درخت‌ها سوزانده شد؛ در ادامه با Figtree درخت اجمالی ۵۰ درصد به دست آمد.

(pmol/μl) و یک میکرومیتر از هر پرایمر انجام شد. الگوی چرخه‌های PCR شامل: ۱. پیش‌دنا توره شدن در دمای ۹۴ درجه سانتی گراد به مدت سه دقیقه؛ ۲. ۲۸ تا ۳۵ چرخه، هریک شامل دنا توره شدن در دمای ۹۴ درجه سانتی گراد به مدت یک دقیقه؛ ۳. annealing در دمای ۵۵ درجه سانتی گراد به مدت یک دقیقه؛ ۴. طویل‌سازی در ۷۲ درجه سانتی گراد به مدت یک دقیقه؛ ۵. یک مرحله افزایش طول نهایی به مدت هفت دقیقه در دمای ۷۲ درجه سانتی گراد بود. کیفیت محصولات PCR با الکتروفورز روی ژل آگارز یک درصد (w/v) (با استفاده از TBE ۱X در جایگاه بافر ژل) و رنگ‌آمیزی با اتیدیوم برومايد بررسی شد. محصولات PCR به همراه پرایمرهای استفاده شده برای توالی یابی Sanger (Seoul, South Korea) ارسال شد. کروماتوگرام‌های حاصل از تعیین توالی نواحی هسته‌ای با استفاده از نرم‌افزار BioEdit ویرایش شد و فایل‌ها به صورت فستا (Fasta) درآمد؛ سپس با استفاده از نرم‌افزار Muscle v4.0 (Edgar, 2004) به همچنین به صورت چشمی، هم‌ردیف‌سازی (alignment) شد. بازسازی روابط فیلوجنی توالی هسته‌ای ITS براساس روشن (ML) و maximum likelihood (BI) صورت گرفت. برای آنالیز داده‌ها به روشن بیشینه درست‌نمایی از RaxMLGUI ver 1.1 (Silvestro and Michalak 2012) استفاده شد. به منظور آنالیز داده‌ها، مدل‌های تکاملی با استفاده از برنامه MrModeltest (Nylander, 2004) و براساس Akaike information criterion معیار اطلاعاتی (AIC) (Posada and Buckley, 2004)

## نتایج

*O. elymaitica* شامل *Dendrobrychis* از بخشة  
*O. cornuta* (Boiss. & Hausskn. Ex Boiss.)  
 (L.) است.

اين کلاد خود به دو زيرکلاد اصلی تقسیم می شود.  
 زيرکلاد اول شامل *O. pulchella* و *O. micrantha* با  
 حمایت 0.99 و  $BS=82$  PP= 0.99 است و زيرکلاد دوم  
 دربر گيرنده سایر گونه های کلاد A با حمایت 1  
 و  $BS=71$  PP= 0.82 و متشکل از دو گروه است؛ به طوری که در  
*O. saxatilis*, *O. sosnovskyi*,  
*O. stenostachya*, *O. densijuga*, *araxina*  
 (PP= 0.88, BS= 50) با حمایت متوسط (*cristag-alli*)  
 قرار می گيرند و گروه دوم شامل *O. cornuta* و *O. elymaitica*  
*O. ptychophylla*, *O. verae*, *alamutensis*  
 (PP= 0.99, BS= 76) با حمایت زياد (*gontscharovii*)  
 است.

کلاد B دربر گيرنده تمام گونه های بال کوتاه همراه  
 (Sibth. & Lophobrychis) شامل با دو گونه از بخشة  
*O. caputgalli* (L.) Lam. و *O. aequidentata* Sm)  
 است.

(PP= 1, BS= 1) با حمایت زياد *O. aequidentata*  
 (88) يك کلاد تشکيل می دهد؛ همين طور  
 با حمایت زياد (*caputgalli* (PP= 1, ML= 96)) يك  
 کلاد مجزا تشکيل می دهد و سپس سایر گونه ها در يك  
 کلاد با حمایت 1 و  $ML=70$  PP= 0.99 قرار می گيرند. در  
 ميان اين گونه ها، گروههایي با حمایت کم و مقدار زياد  
 مشاهده می شود.

اندازه ماترييس داده های nrDNA ITS ۷۰ جايگاه  
 نوكليوتيدی است که ۱۴۰ صفات اطلاعاتی و ۵۴۱  
 صفات غير اطلاعاتی دارد و ايندلهای اطلاعاتی ۳۳ و  
 غير اطلاعاتی ۳۱ جفت باز است؛ همچنین CI برابر  
 ۰/۵۶۲ و RI برابر با ۰/۸۹۷ است. در بررسی بصري  
 درختان، روابط بين کلادها و گروه خواهري، تفاوتی  
 بين تopolوژی های درختان به دست آمده از MP, ML و  
 BI دیده نشد.

تكنيابي بودن بخشة *Onobrychis* با حمایت زياد  
 (PP = 1, ML = 100) نشان داده شده است (شکل ۱).  
 سایر بخشة های سرده *Onobrychis* مانند *Onobrychis*  
*Heliobrychis* و *Hymenobrychis* در جايگاه گروه  
 خواهري برای بخش *Onobrychis* قرار می گيرند.  
 بخشة اسپرس به دو کلاد اصلی و مشخص شامل  
 کلاد A با حمایت 0.99 و  $BS=65$  و کلاد B با  
 حمایت 1 و  $BS=88$  (شکل ۱) تقسیم می شود.  
 کلاد A شامل *O. pulchella* (Schrenk)  
 از *O. cristagalli* (L.) و *micrantha* (Schrenk)  
 بخشة *Lophobrychis* است که در مطالعه  
 Amirahmadi و همكاران (۲۰۱۶) در بخشة  
 ادغام شده اند؛ به علاوه حاوي گونه های  
*O. densijuga* Hedge ( ) با بلند بخشة *Onobrychis*  
*O. saxatilis*, *O. sosnovskyi* Grossh. & Hub  
*O. petrae*, *O. stenostachya* Freyn & Sint., (L.)  
*O. alamutensis* (M. Bieb., ex villo Fish.)  
*O. verae*, Amirah., Kaz.Osaloo & Charkch  
*O. ptychophylla* و *O. gontscharovii* vas Sirj.  
 است که درواقع با تعریف زیربخشة  
 مطابقت دارند؛ همچنین دارای دو گونه  
*Macropterae*

در کlad B، *O. aequidentata* با بال بلند و 7.45 Ma (4.04\_11.43 Ma 95% HPD) یک ساله در جدایشده که با *O. caputgalli* دنبال می شود و سن 7.41 Ma (4.13\_11.14 Ma 95% HPD) آن واگرایی آن برآورد شده است. آخرین زیر کlad به بال کوتاههای چندساله مربوط است و زمان واگرایی آنها 5.84 Ma (4.13\_11.14 Ma 95% HPD) تخمین زده می شود.

### بحث

براساس اطلاعات حاصل از توالي ITS nrDNA هسته ای، تک تباریون بخشة *Onobrychis* با حمایت زیاد مشخص می شود. تک نیایی بخشة *Onobrychis* در (Safaei Chaei Kar et al., 2014; Amirahmadi et al., 2016) مطالعات پیشین نیز تأیید شده بود و *Onobrychis* در مفهوم جدید Amirahmadi و همکاران (۲۰۱۶) بخشة *Dendrobrychis* و *Lophobrychis* و دو عضو از بخشة *Hymenobrychis* *Lophobrychis* *Heliobrychis* همکاران (۲۰۱۲) به طور کلی از تمایز بین بخشه های *Onobrychis* Safaei Chaei Kar و همکاران (۲۰۱۴) نیز گونه های بخشة *Lophobrychis* و دو گونه از بخشة *Dendrobrychis* در میان گونه های *O. pulchella* و *O. aequidentata* قرار گرفتند؛ ولی گونه *arnacantha* در کlad جدایگانه و خارج از بخشة *Onobrychis* واقع شد؛ سپس در مطالعه Amirahmadi و همکاران (۲۰۱۶)، این دو بخشه در بخشة *Onobrychis* ادغام شد.

### تخمین زمان واگرایی

کرونوگرام BEAST (شکل ۲) از نظر توپولوژیکی با درختان به دست آمده از تجزیه و تحلیل بیزی غیر ساعتی nrDNA ITS سازگار بود. میانگین سنی برآورده شده و میانگین نرخ تکامل در جدول ۲ آورده شده است. میانگین زمان واگرایی کlad *Taverniera* 21.44 Ma (13.5\_30.88 Ma 95% HPD) برآورد شد.

میانگین سن کlad «CEGO» شامل *Onobrychis* *Greuteria* و *Corethrodendron* *Eversmannia* 15.69 Ma (9.9\_21.53 Ma 95% HPD) که در مقایسه با مطالعه قبلی (Nafisi et al., 2019) با 13.07 Ma (8.48\_18.48 Ma 95% میانگین سنی HPD) با نمونه گیری تاکسونی کم از گروههای خواهی *Hymenobrychis* و *Heliobrychis* در 9.63 Ma (4.89\_14.17 Ma 95% HPD) از سرده های همسایه اشتراق پیدا کرده اند. سن برآورده شده برای زمان 14.14 Ma (8.89\_19.73 *Onobrychis* و برای بخشة 11.95 *Onobrychis* Ma 95% HPD) از کlad A است. کlad B در 9.85 Ma (5.45\_14.90 Ma 95% HPD) جدا شده است. بال بلندهای چندساله این بخشه با عدد پایه کروموزومی اغلب  $x=8$  در 7.45 Ma (4.04\_11.43 Ma 95% HPD) نمایان شده است. یک ساله های بال بلند شامل *O. pulchella* و *O. arnacantha* در 6.37 Ma (2.70\_10.80 Ma 95% در *micrantha* HPD) تکامل یافته است. بال بلندهای شمال غرب با عدد پایه کروموزومی  $x=7$  در 2.88 Ma (1.04\_5.45 Ma 95% HPD) و بال بلندهای شمال شرق در 2.69 Ma 95% HPD ظاهر شده است.

با عدد پايه O. *elymaitica* و O. *cornuta* (Astanova *et al.*, 1981; Abou- $x=8$  El-Enain, 2002) در گروه دوم با حمایت زياد قرار می گيرند. O. *cornuta* در ايران، تركيه، فقاز، سوريه، افغانستان، پاکستان، فلسطين، لبنان و آسياي مرکزي پراکنش دارد و به صورت كپه اي خاردار و ارتفاع پسند است. O. *elymaitica* که گونه انحصاری ايران از کوه نور لريستان است، به صورت درختچه اي تا درختچه اي خاردار مشاهده می شود (Ball, 1968; Hedge, 1970; Grossheim, 1972; Rechinger, 1984). گونه O. *cornuta* به زير کlad *alamutensis* متصل می شود.

O. *gontscharovii* گروه سوم، گونه های O. *ptychophylla verae* و O. *crista-galli* را در برابر می گيرد. اين گونه ها همگی بال بلند و چند ساله با عدد پايه کروموزومي  $x=8$  هستند، در آسياي مرکزي و شمال شرق ايران پراکنش دارند (بال بلند های شمال شرق) و براساس داده های حاضر با حمایت قوى در يك زير کlad قرار می گيرند. ويژگی های بارز اين زير کlad شامل شكل برگچه های مستطيل، بيضوي تا تخم مرغى، طول ميوه ۵ تا ۷ ميلى متر، کاسه ۴/۵ تا ۷ ميلى متر و گل آذين در ميوه طويل نشده و فشرده، می شود (Grossheim, 1972; Kliphuis, 1977; Rechinger, 1984; Amirahmadi *et al.*, 2014b).

اعضای کlad B همگی عدد پايه کروموزومي  $x=7$  دارند (Baltisberger, 1991; Lifante *et al.*, 1992; Magulaev, 1989; Favarger, 1997; Abou-El-Enain, 2002; Hadadi, 2008, Ranjbar *et al.*, 2009, 2010, 2011; Hejazi *et al.*, 2010; Sepet *et al.*, 2011; Ghanavati and Nematpajoooh, 2012; Akchlik *et al.*, 2012; Zarrabian, 2015). اين کlad متشكل از سه زير کlad است. نخستين زير کlad

بخش Onobrychis با حمایت قوى به دو کlad اصلی A و B تقسيم می شود و گونه های بخش های Hymenobrychis و Heliobrychis در جايگاه گروه خواهri اين بخش قرار می گيرند (شکل ۱). کlad A شامل گونه هایي بال بلند با عدد پايه کروموزومي به طور عده  $x=8$  است که پيش تر در زير Macropterae (Hand. – Mazz., 1910) بخش تعريف می شد؛ به علاوه شامل O. *pulchella* و O. *cristagalli* و O. *micrantha* O. *cornuta* و همچنین Lophobrychis از بخش Dendrobrychis *elymaitica* است. خود کlad A به دو زير کlad تقسيم می شود. زير کlad اول شامل گونه های O. *pulchella* و O. *micrantha* از بخش Lophobrychis است که يك ساله، کم گل و با عدد پايه کروموزومي  $x=8$  است. زير کlad ديگر شامل O. *crista-galli* و گونه های چند ساله بال بلند با دو گروه عدد پايه کروموزومي متفاوت  $x=8$  و  $x=7$  و بيشتر مختص فلات ايران و آناتولي و آسياي مرکزي و خود متشكل از سه گروه است. گروه اول شامل O. *saxatilis*, O. *araxina*, O. *densijuga* گونه های O. *stenostachya* و O. *petrae*, O. *sosnovskyi* همگی با عدد پايه کروموزومي  $x=7$  است که در شمال غرب ايران، تركيه، آذربايجان و ارمنستان پراکنش دارند و از اين ميان تنها گونه O. *saxatilis* اروپائي است. مشخصه ريخت شناسی اين گروه برگچه های مستطيلي - خطى، طول ميوه ۵ تا ۶ ميلى متر و (O. *densijuga* طول شدن گل آذين در ميوه (به جز Širjaev, 1925, 1926; Ball, 1968; Hedge, 1970; Grossheim 1972; Rechinger, 1984; Magulaev, 1989; Garnatje *et al.*, 1988).

viciifolia در مقایسه با گونه‌های با عدد پایه کروموزومی  $x=8$  قربت بیشتری دارند.

*O. viciifolia* دارای پراکنش وسیعی از آسیای مرکزی تا روسیه و مناطق مدیترانه است. در مطالعه Morfolوژیکی و شمارش کروموزومی Ranjbar و همکاران (۲۰۱۰) پیشنهاد شد که به دلیل شباهت ریخت‌شناختی و خاستگاه جغرافیایی و پراکنش نزدیک *O. transcaucasica* *O. altissima* و *O. viciifolia* تقسیم میوز آلوترابلویید (یکدیگر قربت دارند. در مطالعه حاضر نیز این سه گونه براساس داده‌های هسته‌ای در یک گروه و البته در کنار تعدادی گونه دیگر واقع شده‌اند و قربت آنها تأیید می‌شود؛ با این حال به دلیل کشت زیاد در جایگاه محصولات علوفه‌ای، گستره توزیع *O. viciifolia* مشخص نیست (Hedge, 1970). این گونه تراپلوبیید شباهت‌های Morfolوژیکی *O. transcaucasica* چشمگیری با گونه دیپلوبیید Grossh دارد.

*O. gracilis* و *Onobrychis armena* Boiss در یک کlad قرار می‌گیرند. این دو گونه از ماورای قفقاز تا آناتولی و جنوب شرقی اروپا دارای ویژگی‌های Morfolوژیکی مشابهی هستند (Hedge, 1970; Grossheim, 1972). از نظر Morfolوژیکی، *O. elata* Boiss & Balansa *gracilis* بسیار نزدیک به *O. viciifolia* (Hedge, 1970)؛ با این حال با کمال تعجب، براساس مطالعه Morfolوژیکی Safaei Chaei Kar و همکاران (۲۰۱۴)، گونه دوم در بخشة Hymenobrychis قرار گرفته است که ممکن است به شناسایی نادرست نمونه یا آلودگی حین PCR ارتباط داشته باشد.

از بخشة *Lophobrychis aequidentata* زیرکlad یک‌ساله و بال بلند با میوه‌های بزرگ حاوی دندانه‌ای بزرگ و مثلثی روی تاج میوه است و در اروپا، ترکیه، قفقاز، ایران، عراق، سوریه، فلسطین، لبنان و Cyprus پراکنش دارد. دو مین زیرکlad مربوط به *O. caputgalli* از بخشة *Lophobrychis* (گونه‌ای با گلهای گوچک، بال بلند و یک‌ساله) است و در اروپا، ایران، ترکیه، قفقاز و آسیای مرکزی یافت می‌شود (Širjaev 1925; Ball, 1968; Hedge, 1970; Grossheim 1972; Jafri, 1980; Rechinger, 1984)؛ بنابراین در مطالعه حاضر گونه‌های بخشة *Onobrychis* که با بخشة *Lophobrychis* شده‌اند، کنار یکدیگر قرار نمی‌گیرند و آنها یک عدد پایه کروموزومی  $x=8$  دارند در کlad A و آنها یک عدد پایه کروموزومی  $x=7$  دارند در کlad B واقع شده‌اند؛ اما در مطالعه Safaei Chaei Kar و همکاران (۲۰۱۴) گونه‌های بخشة *Lophobrychis* در کنار هم واقع شده‌اند که ممکن است مربوط به تعداد گونه‌های کمتر از بخشة *Onobrychis* در آن مطالعه باشد؛ ولی در مطالعه حاضر با حضور بیشتر گونه‌های بخشة *Onobrychis*، توپولوژی دقیق‌تری به دست آمد. سومین زیرکlad شامل گونه‌های بال کوتاه چندساله است. براساس جمع‌بندی نهایی مطالعه Carbonero و همکاران (۲۰۱۲)، گونه‌های بال کوتاه اغلب رابطه نزدیکی با گونه *O. viciifolia* دارند که نتایج آن با نتایج حاصل از مطالعه حاضر مطابقت دارد و گونه یادشده با حمایت زیاد در زیرکlad سوم مربوط به گونه‌های بال کوتاه قرار می‌گیرد؛ به علاوه با نتایج حاصل از مطالعه Zarrabian و همکاران (۲۰۱۵) همخوانی دارد که اظهار می‌کند گونه‌های *Onobrychis* با عدد پایه کروموزومی  $x=7$  با گونه *O.*

کlad با حمایت متوسط قرار گرفته‌اند. گروه مورفولوژيکی بسیار یکنواختی از این گونه‌ها، گیاهان چندساله با گل‌های صورتی در گل آذین‌های پر گل از آسیای مرکزی تا جنوب اروپا است (Ball, 1968; Hedge, 1970; Rechinger, 1984)

*Onobrychis* زمان تخمینی واگرایی گونه‌های چندساله، که بیشتر به فلات ایران محدود می‌شود، با برخی از رویدادها شامل بالا آمدن فلات ترکیه - ایران (۱۲ تا ۱۴/۵ میلیون سال قبل) و تشکیل رشته کوه در میوسن (۸ تا ۱۰ میلیون سال قبل) مطابقت دارد؛ همچنین با سازماندهی مجدد صفحات تکتونیک و بالا آمدن بیشتر فلات ایران در حدود ۶ تا ۴ میلیون سال قبل هم خوانی دارد (Djamali *et al.*, 2012). در منطقه ایران و تورانی، رشته کوههای ایران (برای مثال البرز و زاگرس) با نواحی کوهسری و فلور متنوع مختص مناطق کوهسری مشخص می‌شود (Noroozi *et al.*, 2007). زیستگاههای کوهسری، میزبان تعداد شایان توجهی از گونه‌های اندامیک شناخته شده است (Noroozi *et al.*, 2018)؛ همچنین ممکن است از نوسان‌های آب و هوایی پس از خشک شدن دریای مدیترانه در اوخر میوسن تأثیر گرفته باشد (Görür and Sakinc, 1995)؛ علاوه بر این در همان دوره، گونه‌های یک‌ساله که از قبل با نام بخشة *Lophobrychis* یاد می‌شدند با  $x=7$  و  $x=8$  دوبار به طور مستقل، در قاعده کladهای اصلی در درخت، تکامل یافته‌اند که با یافته‌های Amirahmadi و همکاران (۲۰۱۶) مطابقت دارد.

به نظر می‌رسد گونه‌های یک‌ساله با عدد پایه کروموزومی  $x=8$  از آسیای مرکزی و شمال غربی آسیا، در فلات ایران متحمل گونه‌زایی دگر جایی

*O. Onobrychis avanakensis* Amirahm. *O. cyri* Grossh. *bungei* Boiss. در یک زیر کlad با پشتیبانی *transcaspica* V.Nikitin متوسط قرار می‌گیرند و در آسیای مرکزی، ایران و Lewke ماورای قفقاز توزیع شده‌اند. براساس مطالعه Bandara و همکاران (۲۰۱۳)، در موقعیت‌های مختلف قرار می‌گیرد؛ با این حال این گونه دارای شباهت ریخت‌شناختی چشمگیری به *O. Cyri*، *bungei*، مانند طول ساقه، اندازه و رنگ گلبرگ، کاسه گل و ویژگی‌های میوه است (Rechinger, 1984). برخی گونه‌های بال کوتاه این بخش در اروپا و برخی در فلات ایران و آناتولی و آسیای مرکزی یافت می‌شوند.

براساس داده‌های حاصل از ITS nrDNA، زیر کlad سوم از کlad B خود به سه گروه تقسیم می‌شود. *O. luristanica* زیر کlad سوم شامل *O. shahpurensis*، *O. fallax* و *carduchorum* است که با حمایت قوی در یک گروه قرار می‌گیرند، ویژگی‌های مورفولوژیکی مشابهی نیز دارند (از جمله طول جام ۷ تا ۱۰ میلی‌متر، داشتن میوه بزرگ با طول میوه ۶ میلی‌متر و دارابودن شکل میوه مشابه) و در غرب ایران، ترکیه، سوریه و عراق پراکنش دارند. *O. fallax* مربوط به *O. carduchorum* است؛ اما برگ‌چههای بزرگ‌تر، موهای بلندتر پخش شده روی کاسه گل و میوه‌های بزرگ‌تر دارد (Hedge, 1970) و توسط مطالعه حاضر تأیید شده است.

*O. ebenoides* *Onobrychis argentea* Boiss. *O. ferganica* (Slrjaev) Boiss & Spruner *O. minata* Steven ex Boiss. Grossh. *O. pindicola* Hausskn و *montana* DC در یک

یک ساله، یک گروه تک تبار تشکیل نداده‌اند و تکامل موازی نشان می‌دهند.

ظهور بخشة *Onobrychis* به ۱۱/۹۵ میلیون سال پیش در میوسن میانی بازمی‌گردد و موقعه هر دو کلاد اصلی در زمان‌های تقریبی مشابهی رخ داده است. گونه‌زایی و تنوع‌یابی گونه‌های بال کوتاه با سرعت بیشتر رخ داده است و جوان‌تر هستند؛ بنابراین فرصت کافی برای اشتراق کامل کل ژنوم وجود نداشته است؛ همچنین گفتنی است که دور گ‌گیری‌های مکرر در بین گونه‌های بال کوتاه منجر به ایجاد گونه‌های آلوپلی‌پلوئید شده است؛ بنابراین با وجود تفاوت‌های ریخت‌شناسی، گروه‌بندی براساس داده‌های مولکولی تاحدودی متفاوت است. پدیدارشدن گونه‌های چندساله بال بلند شمال غرب و گونه‌های چندساله بال بلند شمال شرق به طور تقریبی در زمان‌های مشابه و به صورت جداگانه در نواحی جغرافیایی مجزا از طریق تکامل موازی است.

### سپاسگزاری

نویسنده‌گان از معاونت محترم پژوهشی و فناوری دانشگاه تریست مدرس برای حمایت مالی از این پژوهش قدردانی می‌کنند.

(Allopathric speciation) در غرب (آذربایجان، ترکیه، ارمنستان، عراق و شمال غرب ایران) و شرق (خراسان، افغانستان، ترکمنستان و آسیای مرکزی) شده باشند. گونه‌های بال بلند شمال غربی و شمال شرقی به طور تقریبی موازی با یکدیگر در دو ناحیه جغرافیایی مختلف تکامل یافته‌اند؛ درنتیجه به صورت گونه‌های جانشین (vicariant) هستند. گونه‌های بال بلند غربی (*O. saxatilis*, *O. stenostachya*, *O. densijuga*) (*O. sosnovskyi* و *araxina*) در کلاد «A» متحمل کاهش در تعداد عدد پایه کروموزومی شده‌اند. گونه *O. saxatilis* تنها گونه این گروه است که در غرب اروپا مشاهده می‌شود و درواقع تنها گونه چندساله بال بلند اروپایی است.

### جمع‌بندی

گروه‌بندی بخشة *Onobrychis* براساس طول بال و عدد کروموزومی با داده‌های مولکولی نسبت به سایر صفات ریخت‌شناسی مانند گل و میوه یا صفات رویشی مطابقت بیشتری دارد. با توجه به طول بال، بخشة *Onobrychis* به دو گروه تقسیم می‌شود که گونه‌های بال کوتاه تک تبار است؛ اما گونه‌های بال بلند پیراتبار است. گونه‌هایی که عدد پایه کروموزومی  $x=7$  دارند، مستقل از هم تکامل یافته‌اند؛ همین‌طور گونه‌های

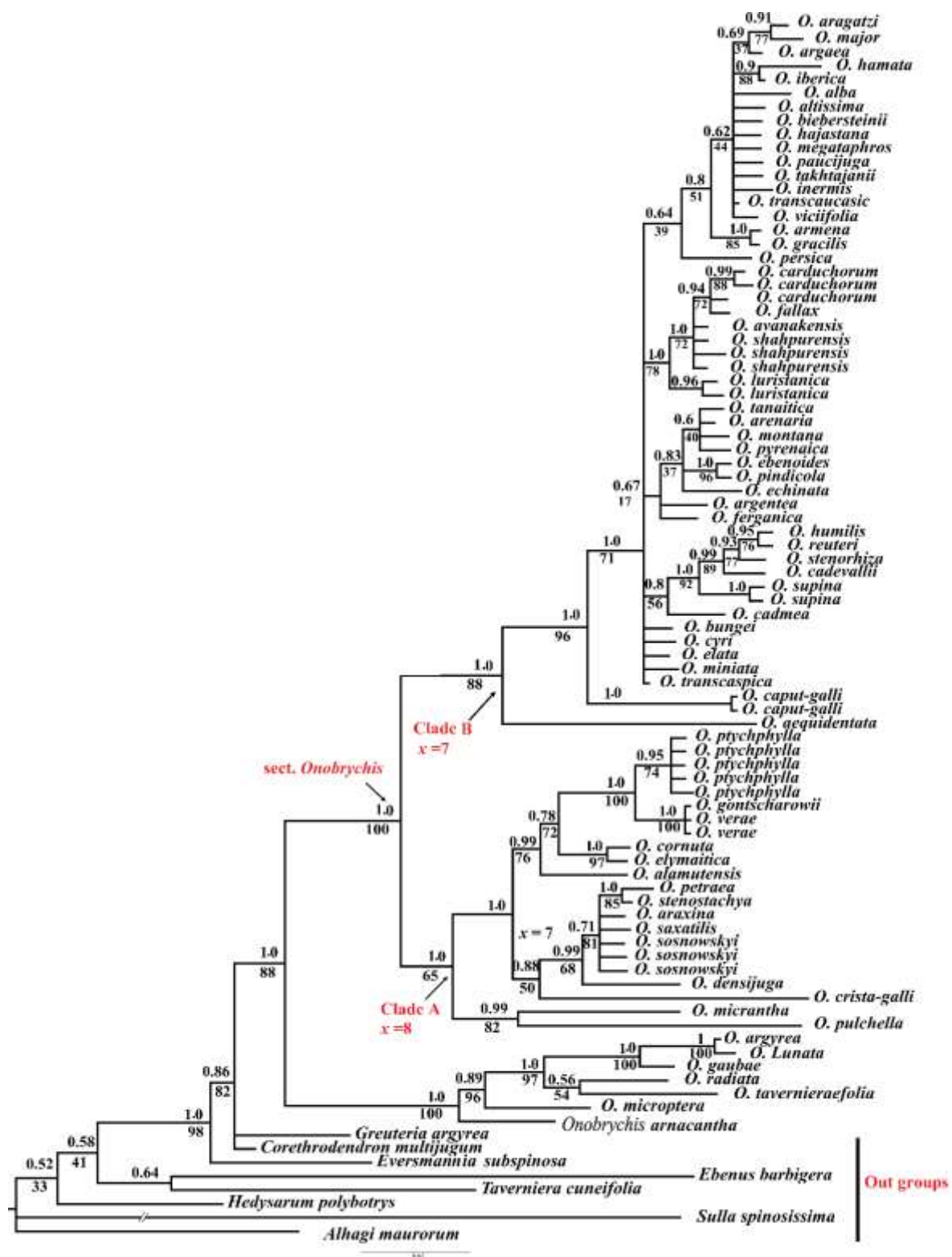
### منابع

- Abou-El-Enain, M. M. (2002). Chromosomal criteria and their phylogenetic implications in the genus *Onobrychis* Mill. sect. *Lophobrychis* (Leguminosae), with special reference to Egyptian species. *Botanical Journal of the Linnean Society*, 139, 409-414.
- Akchlik, E.S., Avci, S., Uzun, S., & Sancak, C. K. (2012). Analysis of some *Onobrychis* (SAINFOIN) species in Turkey. *Archives of Biological Sciences, Belgrade*, 64(2), 567-571.
- Amirahmadi, A., Kazempour Osaloo, Sh., Moein, F., Kaveh, A., & Maassoumi, A. A. (2014a). Molecular systematic of the tribe Hedysareae (Fabaceae) based on nrDNA ITS and plastid trnL-F and matK sequences. *Journal of Plant Systematics and Evolution*, 300, 729-747.

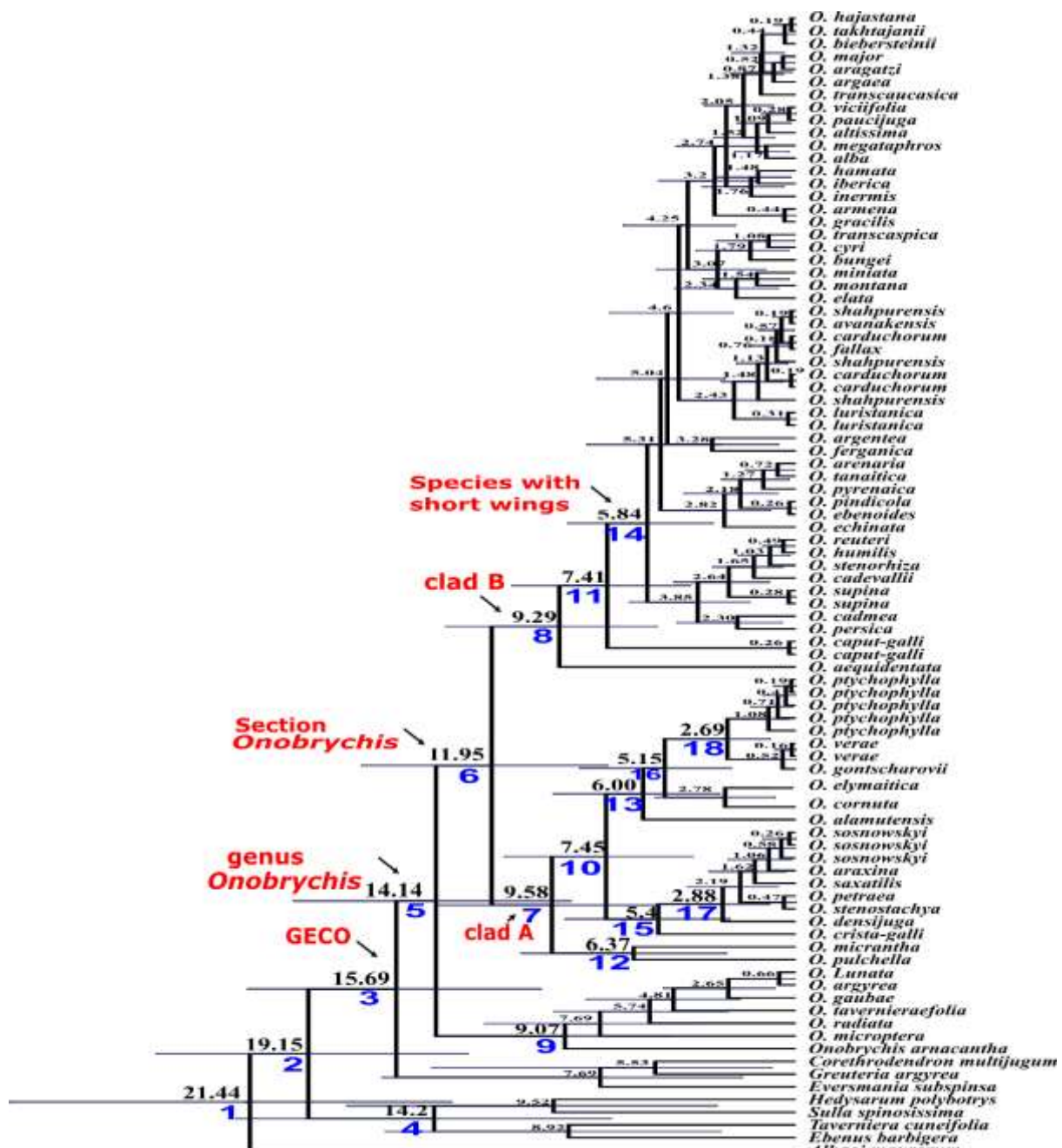
- Amirahmadi, A., Kazempour osaloo, SH., Khoshokhan Mozaffar, M. & Charkhchian, M., (2014b). A new species of *Onobrychis* sect. *Onobrychis* (Fabaceae) from Iran. *Turkish Journal of Botany*, 38, 658-664.
- Amirahmadi, A., Kazempour Osaloo, Sh., Kaveh, A. Maassoumi, A. A. & Naderi R. (2016). The phylogeny and new classification of the genus *Onobrychis* (Fabaceae-Hedysareae): evidence from molecular data. *Journal of Plant Systematics and Evolution*, 302, 1445-1456.
- Amirahmadi, A. & Khoshokhan-Mozaffar, M. (2021). Molecular and morphological evidence of *Onobrychis avanakensis*, a new species from Iran. *Phytotaxa*, 487(1), 75-82
- Astanova, S. B. & Abdusaljamova, L.N. (1981). Chisla khromosom nekotorych vidov rodov *Oxytropis* DC., *Onobrychis* Mill. (semejstvo Leguminosae Juss.) flory Tadzhikistana. *Izvestiya Akademii Nauk Tadzhikskoi SSR: Otdelenie Biologicheskikh Nauk*, 4(85), 38-41.
- Ball, P. W. (1968). *Onobrychis* (Leguminosae). In: Tutin, T. G., Heywood, V. H., Burges, N. A., Moore, D. M., Valentine, D. H., Walters, S. M. & Webb, D. A. (Eds.) *Flora Europaea*, Vol. 2. Cambridge, UK: Cambridge University Press, pp. 187-191.
- Baltisberger, M. (1991b). IOPB chromosome data 3. *IOPB Newsletter* 17, 5-7.
- Boissier, E. (1843). Leguminosae in Diagnoses plantarum Orientalium novarum. *Genevae Typographia Ferd. Ramboz* 2, 6-107
- Djamali, M., Baumel, A., Brewer, S., Jackson, S. T., Kadereit, J. W., LópezVinyallonga, S., Mehregan, I., Shabanian, E., & Simakova, A. (2012). Ecological implications of *Cousinia* Cass. (Asteraceae) persistence through the last two glacial-interglacial cycles in the continental Middle East for the Irano-Turanian flora. *Review of Palaeobotany and Palynology*, 172, 10-20.
- Doyle, J. J. & Doyle, J. L. (1987). A rapid DNA isolation of fresh leaf tissue. *Journal of Phytochemical Bulletin*, 19, 11-15.
- Edgar, R.C. (2004). Muscle: multiple sequence alignment with high accuracy and high throughput. *Journal of Nucleic Acids Research*, 32, 1792-1797.
- Favarger, C. (1997). Notes of alpine caryology VI. *Bulletin de la Société Neuchâteloise des Sciences Naturelles*, 120, 19-33 (in French). Garnatje, T., & Cardona, A. (1988). Fitodermología I cariología d'*Onobrychis viciifolia* Scop., *O. supina* (Chaix) DC.i *O. saxatilis* Lam. *De Catalunya. Orsis* 3, 55-65.
- Ghanavati, F., & Nematpajoooh, N. (2012). Study of ploidy level of annual species of *Onobrychis* in Iran. *Caryologia*, 65, 328-334.
- Ghanavati, F., & Amirabadizadeh, H. (2018). 12. 30: A new species of *Onobrychis* (Papilionaceae) from Iran. *Iranian Journal of Botany*, 24 (2), 114-118.
- Grossheim, A. A. (1972). *Onobrychis* Adans. (Leguminosae). In: Komarov, V. L., Shishkin, B. K. & Bobrov, E. G. (Eds.) *Flora of the USSR*. Vol. 13. Israel Program for Scientific Translations, Jerusalem, pp. 244-281.
- Görür, N., & Sakinc, M. (1995). Miocene to Pliocene palaeogeographic evolution of Turkey and its surroundings. *Journal of Human Evolution*, 28, 309-324.
- Hadadi, A. (2008). *Cytotaxonomic study on the genus Onobrychis sect. Onobrychis in Iran*. MSc Thesis. Bu-Ali Sina University, Hamedan (in Persian).
- Hedge, I.C. (1970). *Onobrychis*. In: Davis, P.H. (Ed.) *Flora of Turkey and the East Aegean Islands*. Vol. 3. Edinburgh: University Press, pp. 560-589.
- Hedge, I. C. (1970). *Hedysarum, Onobrychis and Sartoria*. In: Davis P. H. (Ed.). *Flora of Turkey and the East Aegean Islands*, 3. Edinburgh, University Press.

- Hejazi, H., Mohsen, S., & Ziae Nasab, M. (2010). Cytotaxonomy of some *Onobrychis* (Fabaceae) species and populations in Iran. *Caryologia*, 63, 1, 18-31.
- Jafri, S. M. (1980). Hedysareae. In: Jafri S. M. H., Gadi A. E. L. (Ed.). *Flora of Libya*. Al Faateh University, Lybia.
- Karamian, R., Ranjbar, M., & Hadadi, A. (2011-2012). Chromosome number reports in five *Onobrychis* species (*O. sect. Onobrychis*, Fabaceae) in Iran. *Journal of Cell and Molecular Research* 3(2), 81–92.
- Kliphus, E. (1977). *Chromosome number reports LVI*. Taxon 26, 257–274.
- Lavin, M., Herendeen, P. S., & Wojciechowski, M. F. (2005). Evolutionary rates analysis of Leguminosae implicates a rapid diversification of lineages during the Tertiary. *Journal of Systematic Biology*, 54, 575-594.
- Lewke Bandara, N., Papini, A., Mosti, S., Brown, T., & Smith, L. M. J. (2013). A phylogenetic analysis of genus *Onobrychis* and its relationships within the tribe Hedysareae (Fabaceae). *Turkish Journal of Botany*, 37, 981-992.
- Lifante, Z. D., Luque, T., & Bárbara, C. S. (1992). Chromosome numbers of plants collected during Iter Mediterraneum II in Israel. *Bocconeia*, 3, 229-250.
- Magulaev, A. J. (1989). Cytotaxonomic study of the Northern Caucasica *Onobrychis*. *Tesizy II Symp. Plant Karyology*, 73-76 (in Russian).
- Nafisi, H., Kazempour-Osaloo, Sh., Mozaffarian, Y., & Schneeweiss, G. M. (2019). Molecular phylogeny and divergence times of the genus *Hedysarum* (Fabaceae) with special reference to section Multicaulia in Southwest Asia. *Journal of Plant Systematics and Evolution*, 305, 1001-1017.
- Nixon, K. (2006). *Diversity of life.org (DOL)*. Cornell University. Available from: <http://www.Plantsystematics.org/> (accessed 6 April 2018).
- Noroozi, J., Akhani, H., & Breckle, S. W. (2007). Biodiversity and phytogeography of the alpine flora of Iran. *Journal of Biodiversity and Conservation*, 7, 493–521.
- Noroozi, J., Talebi, A., Doostmohammadi, M., Rumpf, S. B., Linder, H. P., & Schneeweiss, G. M. (2018). Hotspots within a global biodiversity hotspot - areas of endemism are associated with high mountain ranges. *Journal of Scientific Reports*, 8, 10345.
- Nylander, J. A. A. (2004). *Mr Modeltest v2*. Program distributed by the author. Evolutionary Biology Center, Uppsala University, Uppsala.
- Page, D. M. (2001). *Treeview (Win32) version 1.6.6*. Available at: <http://taxonomy.zoology.gla.ac.uk/rod/treeview.html>
- Posada, D., & Buckley, T. R. (2004). Model selection and model averaging in phylogenetics: advantages of akaike information criterion and Bayesian approaches over likelihood ratio tests. *Journal of Systematic Biology*, 53, 793-808.
- Rambaut, A., & Drummond, A. J. (2007). *Tracer, version 1.4. Computer program and documentation distributed by the author*. Available at: <http://tree.bio.ed.ac.uk/software/tracer/>
- Ranjbar, M., Karamian, R., & Hadadi, A. (2009). Biosystematic study of *Onobrychis viciifolia* Scop. and *Onobrychis altissima* Grosssh. (Fabaceae) in Iran. *Iranian Journal of Botany*, 15, 85-95.
- Ranjbar, M., Karamian, R., Tolui, Z., & Amirabadizadeh, H. (2007). *Onobrychis assadii* (Fabaceae), a new species from Iran. *Annales Botanici Fennici* 44, 481-484.
- Ranjbar, M., Karamian, R., & Hadadi, A. (2008) Biosystematic study of *onobrychis viciifolia* scop. And *onobrychis altissima* grosssh. (fabaceae) in Iran. *Iranian Journal of Botany*, 15(1), 85-95.

- Ranjbar, M., Hadadi, A., & Karamian, R. (2011). Systematic study of *Onobrychis shahpurensis* (Fabaceae) in Iran, with the description of *O. neychalanensis* sp. nov. *Nordic Journal of Botany*, 29, 163–174.
- Ranjbar, M., Karamian, R., Hadadi, A., & Johartchi, M. R. (2012). Taxonomic notes on *Onobrychis* sect. *Onobrychis* subsect. *Macropterae* (Fabaceae) from Iran. *Phytotaxa*, 39, 51–60.
- Rechinger, K. H. (1984). *Onobrychis*. In: Rechinger, K.H. (Ed.) *Flora Iranica* 157. Akademische Druck- und Verlags-Anstalt, Graz & Wien, pp. 389-459.
- Ronquist, F., Teslenko, M., van der Mark, P., Ayres, D.L., Darling, A., Hohna, S., Larget, B., Liu, L., Suchard, M.A. & Huelsenbeck, J.P. (2012). MrBayes 3.2: efficient bayesian phylogenetic inference and model choice across a large model space. *Journal of Systematic Biology*, 61, 539–542.
- Safaei-Chaeikar, S., Ghanavati, F., Naghavi, M. R., Amirabadi-Zadeh, H., & Rabiee, R. (2014). Molecular phylogenetics of the *Onobrychis* genus (Fabaceae: Papilionoideae) using ITS and *trnL*–*trnF* DNA sequence data. *Australian Journal of Botany*, 62, 235–250.
- Sang, T., Crawford, D. J., & Stuessy, T. (1995). Documentation of reticulate evolution in peonies (Paeonia) using internal transcribed spacer sequences of nuclear ribosomal DNA: implication for biogeography and concerted evolution. *Proceedings of the National Academy of Sciences of the United States of America* 92, 6813–6817.
- Sepet, S., Emre, I., Kiran, Y., Kursat, M., & Sahin, A. (2011). Karyological studies on eight species of *Onobrychis* genus in Turkey. *Biologia* 66, 996–1002.
- Silvestro, D. & Michalak, I. (2012). RaxmlGUI: A graphical front-end for RAxML. *Journal of Organisms Diversity & Evolution*, 12, 335–337.
- Širjaev, G. (1925). *Onobrychis* generis revisio criteria. *Publications of the Faculty of Science, University of Masaryk* 56, 96–97.
- Širjaev, G. (1926). *Onobrychis* generis revisio critica. Pars prima. *Publications Faculte des Sciences de l' Universite' Masaryk*, 76, 1–165.
- Townsend, C. C. (1974). *Onobrychis*. In: *Flora of Iraq*, vol. 3. Published by the Ministry of Agriculture of the Republic of Iraq, Baghdad, pp. 471–493.
- White, T.J., Bruns, T., Lee, S., & Taylor, J. (1990). Amplification and direct sequencing of fungal ribosomal RNA genes for phylogenetics. In: Innis, M. A., Gelfand, D. H., Sninsky, J. J. & White, T. J. (Eds.) *PCR protocols: a guide to methods and applications*. Academic Press Inc., New York, pp. 315–322.
- Zarrabian, M., & Majidi, M. (2015). Genetic diversity and relationships within and among *Onobrychis* species using molecular markers. *Turkish Journal of Botany*, 39, 681–692.



شکل ۱- درخت اجتماعی مبتنی بر قاعدة ۵۰ درصد اکثرب حاصل از آنالیز بازیزن مجموعه داده ITS nrDNA. اعداد بالای شاخه‌ها مقادیر احتمال پسین و زیر آنها بوتسنراپ حاصل از روش بیشینه درست‌نمایی است. مقادیر  $> 50$  درصد نشان داده نمی‌شود.



شکل ۲- کرونوگرام حاصل از تجزیه و تحلیل BEAST توالی های ITS .nrDNA اعداد روی هر گره زمان میانگین واگرایی را نشان می دهد.  
اعداد در زیر گره ها مطابق با گره های فهرست شده در جدول ۲ است.

جدول ۱- تاکسون های مطالعه شده برای تحلیل داده های nrDNA ITS  
اختصارات استفاده شده در اطلاعات مربوط به جمع آوری نمونه های گیاهی:

BASU: BuAli Sina University Herbarium, Hamedan, Iran, FUMH: Ferdowsi University of Mashhad Herbarium, Mashhad, Iran, GAZI: Herbarium of Gazi University, HINRRC: Herbarium of Isfahan Natural Resources Research Center, HQNRRC: Herbarium of Qazvin Natural Resource Research Center, MRCH: Mashhad Research Center Herbarium, MSB: Herbarium of Ludwig-Maximilians-Universität, München, Germany, TARI: Herbarium of the Research Institute of, Tehran, Iran, TMUH: Tarbiat Modares University Herbarium, Tehran, Iran, TUH: Tehran University Herbarium, W: Natural History Museum of Vienna, WUK: Northwestern Institute of Botany.

برای آن دسته که از GenBank بازیابی شد.

\* توالی هایی که جدید در این مطالعه ایجاد شد.

Taxa	Source, voucher	GenBank Accession Number
nrDNA ITS		
<i>Alhagi maurorum</i> Medik.	From GenBank	AB854477 <sup>+</sup>
<i>Corethrodendron scoparium</i> (Fisch. & C.A. Me) Fisch. & Basiner	China: Xu et al., 86862 (MSB)	AB854478 <sup>+</sup>
<i>Corethrodendron multijugum</i> (Maxim.) B.H. Choi & H. Ohashi	Chang et al., 2012109 (WUK)	KP338137 <sup>+</sup>
<i>Ebenus barbigera</i> Boiss.	From GenBank	AB854481 <sup>+</sup>
<i>Eversmannia subspinosa</i> (Fisch. Ex DC.) B.Fedtsch.	Iran: Freitag & Mozaffarian, 28397 (TARI)	AB329692 <sup>+</sup>
<i>Greuteria argyrea</i> (Greuter&Burdet) Amirahm. & Kaz.Osaloo (= <i>H. argyreum</i> )	Podlech 48626 (MSB)	AB854487 <sup>+</sup>
<i>Hedysarum polybotrys</i> Hand. -Mazz.	Chang et al., QZ-042 (WUK)	KP338182 <sup>+</sup>
<i>Sulla spinosissima</i> (L.) B.H.Chi & H.Ohashi	From GenBank	AB854515 <sup>+</sup>
<i>Taverniera cuneifolia</i> Arn.	From GenBank	JX 455141 <sup>+</sup>
<i>Onobrychis aequidentata</i> (Sam.) d'Urv.	France: Auriault 16177 (MSB)	LC137020 <sup>+</sup>
<i>O. afghanica</i> Širj. & Rech.f.	Afghanistan: Podlech 15931 (MSB)	AB854501 <sup>+</sup>
<i>O. alamutensis</i> Amirahm., Kaz.Osaloo & Charkhch.	Iran: Kazempour Osaloo & Bahadori 98194 (TARI)	AB911415 <sup>+</sup>
<i>O. alba</i> (Waldt. & Kit) Desv.	<a href="#">Yugoslavia</a> : Mazedonien Podlech 9654	<a href="#">AB911416</a> <sup>+</sup>
<i>O. altissima</i> Grossh.	Iran: Zarre et al., s.n. (TUH)	LC137021 <sup>+</sup>
<i>O. aragatzii</i> Arevsch.	Armenia: Tamarian et al, 2009-0020580 (W)	*
<i>O. araxina</i> Schischkin	Azerbaijan: Toluei & Ranjbar 23157 (BASU)	JQ780470 <sup>+</sup>
<i>O. arenaria</i> (Kit.) DC.	Austria: Handel-Mazzetti s.n.,1932-0005259 (W)	*
<i>O. argaea</i> Boiss & <a href="#">Balansa</a>	Turkey: Sorger 1992-0012458 (W)	*
<i>O. argentea</i> Boiss.	Algeria: Podlech, 96963 (MSB)	LC137023 <sup>+</sup>

<i>O. argyrea</i> Boiss.	Iran: Kazempour-Osaloo et al. 2012-6 (TMUH)	LC388073 <sup>+</sup>
<i>O. armena</i> Boiss.	Greece: Buttler 18336 (MSB)	*
<i>O. arnacantha</i> Bunge ex Boiss.	Iran: Faghihnia and Zangooii 26074 (FUMH)	LC137024 <sup>+</sup>
<i>O. avanakensis</i> <a href="#">Amirahm.</a>	Iran: Charkhchian 1793 (HQNRCC )	*
<i>O. biebersteinii</i> <a href="#">Širj.</a>	Georgia: Staudinger 2006-0011273 (W)	*
<i>O. bungei</i> Boiss.	Iran: Rechinger 43484 (MSB)	LC137026 <sup>+</sup>
<i>O. cadelvallii</i> <a href="#">Jahand.</a> , <a href="#">Maire</a> & <a href="#">Pau</a>	Morocco: Podlech 68979 (MSB)	*
<i>O. cadmea</i> Boiss.	Transcaucasia: Vasak s.n. (?)	*
<i>O. caput-galli</i> Lam.	Iran: Kazempour Osaloo et al. 2012-4 (TMUH)	LC137027 <sup>+</sup>
<i>O. caput-galli</i> Lam.	Greece: Raidel 97479 (MSB)	*
<i>O. carduchorum</i> <a href="#">C.C.Towns</a>	Iran: Kazempour Osaloo et al. 2012-1 (TMUH)	<a href="#">AB911418<sup>+</sup></a>
<i>O. carduchorum</i> C.C. Towns	Iran: Sanandaj, Abidar, fattahi 1273 (TARI)	<a href="#">JX412244<sup>+</sup></a>
<i>O. carduchorum</i> C.C. Towns	Iran: Kazempour Osaloo et al. s.n. (TMUH)	*
<i>O. cornuta</i> (L.) Desv.	Iran: Kazempour Osaloo et al 2012-2 (TMUH)	<a href="#">LC137028<sup>+</sup></a>
<i>O. crista-galli</i> Lam.	Iran: Kazempour Osaloo et al. 2012-3 (TMUH)	LC137029 <sup>+</sup>
<i>O. cyri</i> Grossh.	Iran: Assadi & Vosugi 24673 (TARI)	*
<i>O. densijuga</i> Hedge & Hub.-Mor.	Turkey: Ehrendorfer 1991-0004254 (W)	*
<i>O. ebenoides</i> Boiss. & Spruner	Greece: Rechinger 1959-0003104 (W)	*
<i>O. echinata</i> (Guss.) G.Don	Italy: Podlech 96960 (MSB)	*
<i>O. elata</i> Boiss. & Balansa	Turkey: Zarre 32 (TARI)	*
<i>O. elymaitica</i> Boiss. & Hausskn. ex Boiss.	Iran: Mozaffarian 71259 (TARI)	LC137032 <sup>+</sup>
<i>O. fallax</i> Freyn & Sint.	Iraq: Bornmüller 1895-0001717 (W)	*
<i>O. ferganica</i> ( <a href="#">Širj.</a> ) Grossh.	Kyrgyzstan: Khokhryakov s.n. 1963-0014392 (W)	*
<i>O. gaubae</i> Bormm.	Iran: Kazempour-Osaloo et al. 2012-12(TMUH)	LC388084 <sup>+</sup>
<i>O. gontscharowii</i> Vassilcz.	Iran: Toluei & Ranjbar 23119 (BASU)	JQ780471 <sup>+</sup>

<i>O. gracilis</i> Besser.	Turkey: Sorger 1992-0012580 (W)	*
<i>O. hajastana</i> Grossh.	Armenia: Geghark'unik' Vlasov s.n. 1972-0007899 (W)	*
<i>O. hamata</i> Vass.	Russia: Vlasov s.n., 1972-0007880 (W)	*
<i>O. humilis</i> ( <a href="#">Loefl.</a> ) <a href="#">G.López</a>	Spain: Laínz s.n. 1958-0002286 (W)	*
<i>O. iberica</i> <a href="#">Grossh.</a>	Russia: Vlasov s.n. 1985-0007286 (W)	*
<i>O. inermis</i> Steven.	Grimus: Ritter s.n. 1966-0005645 (W)	*
<i>O. lunata</i> Boiss.	Iran: Rechinger 42530 (MSB)	LC137039 <sup>+</sup>
<i>O. luristanica</i> Rech.f.	Iran: Mozaffarian 46064 (TARI)	*
<i>O. luristanica</i> Rech.f.	Iran: Eftekhari 6856 (HINRRC )	*
<i>O. major</i> <a href="#">Boiss.</a> & <a href="#">Kotschy</a> ex <a href="#">Boiss.</a>	Iran: Kazempour-Osaloo et al 2012-6-15 (TMUH)	*
<i>O. megataphros</i> Boiss.	Iran: Kazempour Osaloo et al. 2008-01 (TMUH)	*
<i>O. micrantha</i> Schrenk	Iran: Ayatollahi & Joharchii 13063 (TARI)	LC137042 <sup>+</sup>
<i>O. microptera</i> <a href="#">Baker</a> ex <a href="#">Aitch.</a>	Afghanistan: Podlech 288872 (MSB)	LC137044 <sup>+</sup>
<i>O. miniata</i> Steven ex Boiss.	Ukraine: Vlasov 11971-0004137 (W)	*
<i>O. montana</i> DC.	Italy: Burri & Krendl s.n. 1994-0006105 (W)	*
<i>O. paucijuga</i> Bornm.	Turkey: Vural 4897 (GAZI)	*
<i>O. persica</i> Širj. & Rech.f.	Iran: Azarbaijan Kazempour Osaloo et al. 2008 (TMUH)	*
<i>O. petraea</i> (M.Bieb. ex Willd.) Fisch.	From GenBank	KF015315 <sup>+</sup>
<i>O. pindicola</i> Hausskn.	Greece: Rechinger 1970-0007198 (W)	*
<i>O. ptychophylla</i> Sirjaev K.H.Rechinger	Iran: Kazempour Osaloo et al. 2011-05 (TMUH)	*
<i>O. ptychophylla</i> Sirjaev K.H.Rechinger .	From GenBank	JQ780472 <sup>+</sup>
<i>O. ptychophylla</i> Sirjaev K.H.Rechinger	From GenBank	JQ780473 <sup>+</sup>
<i>O. ptychophylla</i> Sirjaev K.H.Rechinger	From GenBank	JQ780474 <sup>+</sup>
<i>O. ptychophylla</i> Sirjaev K.H.Rechinger	Iran( From GenBank)	JX455137 <sup>+</sup>
<i>O. pulchella</i> Schrenk	Iran: Ghahraman et al. 27318 (TUH)	AB854508 <sup>+</sup>
<i>O. pyrenaica</i> Sennen ex Širj.	Spain( From GenBank)	KF015361 <sup>+</sup>
<i>O. radiata</i> <a href="#">Fisch.</a>	Iran: Kuorkoba 374 (TARI)	LC137046 <sup>+</sup>
<i>O. reuteri</i> Leresche	Spain: Segura 68918 (MSB)	*
<i>O. saxatilis</i> <a href="#">Lam.</a>	France: Podlech 57840 (MSB)	*
<i>O. shahpurensis</i> Rech.f.	Iran: Rechinger & Renz 49668 (TARI)	LC137049 <sup>+</sup>
<i>O. shahpurensis</i> Rech.f.	Iran: Kazempour-Osaloo et al., 2012-	<a href="#">AB911419</a> <sup>+</sup>

	2 (TMUH)	
<i>O. shahpurensis</i> Rech.f.	Iran: Kazempour- Osaloo s.n. (TMUH)	*
<i>O. sosnowskyi</i> Grossh.	Iran: Mozaffarian 93762 (TARI)	LC137051 <sup>+</sup>
<i>O. sosnowskyi</i> Grossh.	Iran: Toluei & Ranjbar 23156 (BASU)	JQ780469 <sup>+</sup>
	Iran: Amirabadi Zadeh & Ghanavati	
<i>O. sosnowskyi</i> Grossh.	6065 (MRCH)	JX455132 <sup>+</sup>
<i>O. stenorhiza</i> DC.	Spain: Riera 60805 (MSB)	*
<i>O. stenostachya</i> Freyn	Turkey: Gunes s.n. ()	*
<i>O. supina</i> DC.	France: Podlech 57824 (MSB)	LC137055 <sup>+</sup>
<i>O. supina</i> DC.	France: Sellmair 218a (MSB)	*
<i>O. takhtajanii</i> Sytin	From GenBank	<a href="#">KF015336<sup>+</sup></a>
<i>O. tanaitica</i> Spreng.	China: Xu et al., 87212 (MSB)	LC137056 <sup>+</sup>
<i>O. tavernieraefolia</i> Stocks ex Boiss.	Afghanistan: Podlech 97568 (MSB)	AB854510 <sup>+</sup>
<i>O. transcaspica</i> V.Nikitin	Iran: Ghahraman & Mozaffarian 5859 (TUH)	AB911421 <sup>+</sup>
<i>O. transcaucasica</i> Grossh.	Turkey: Zarre 58994 (MSB)	*
<i>O. verae</i> Širj.	Iran: Kazempour -Osaloo 2011-1 (TMUH)	AB854511 <sup>+</sup>
<i>O. verae</i> Širj.	From GenBank	JX426802 <sup>+</sup>
<i>O. viciifolia</i> Scop.	Spain: Podlech 68902 (MSB)	AB854512 <sup>+</sup>

جدول ۲- میانگین سن، نرخ و محدوده گره (HPD % ۹۵) تکامل با احتمال پسین آنالیز ITS

Node	Node definition	Mean			95% HPD (Mya)
		age (Mya)	Min (Mya)	Max (Mya)	
<b>1</b>	<i>Alhagi</i>	21.44	13.50	30.88	0.000
	<i>Ebenus</i>				
	<i>Taverniera</i>				
	<i>Sulla</i>				
<b>2</b>	<i>Hedysarum</i>	19.5	12.84	25.13	0.0001
	<i>Everesmania,</i>				
	<i>Coreterdenderon and</i>				
	<i>Greuteria</i>				
	<i>Onobrychis</i>				
<b>3</b>	GECO	15.69	9.99	21.53	0.001
	<i>Ebenus</i>				
<b>4</b>	<i>Taverniera</i>	14.20	7.24	21.99	0.000
	<i>Sulla</i>				
	<i>Hedysarum</i>				
<b>5</b>	Genus <i>Onobrychis</i>	14.14	8.84	19.73	0.003
<b>6</b>	Section <i>Onobrychis</i>	11.95	7.60	17.09	0.001
<b>7</b>	Clade A	9.58	5.45	14.09	0.000
<b>8</b>	Clade B	9.29	5.44	13.73	0.000
<b>9</b>	<i>Hellobrychis</i> and <i>Hymenobrychis</i>	9.07	4.89	14.17	0.001
<b>10</b>	Perennial Long wings	7.45	4.04	11.43	0.000
<b>11</b>	<i>O.caputgalli</i> N=7	7.41	4.13	11.14	0.000
<b>12</b>	<i>O. micrantha</i> <i>O. pulchella</i>	6.37	2.70	10.80	0.000
<b>13</b>	<i>O. alamutensis</i>	6	2.97	9.54	0.000
<b>14</b>	Short wings	5.84	4.13	11.14	0.000
<b>15</b>	<i>O. crista-galli</i>	5.4	2.58	9.05	0.000
<b>16</b>	<i>O. cornuta</i> <i>O. elymaitica</i>	5.15	2.97	9.54	0.000
<b>17</b>	Northwest long wings	2.88	1.04	5.45	0.000
<b>18</b>	Northeast long wings	2.69	2.52	8.47	0.000

